



## دراسة مقاومة الشد لمتراكبات الايبوكسي المسلح بالألياف الزجاجية

محمد غازي حمد ، \* حازم خليل خلف

قسم الفيزياء ، كلية العلوم ، جامعة الأنبار. الانبار - العراق

\*قسم الهندسة الميكانيكية، كلية الهندسة ، جامعة تكريت. صلاح الدين - العراق

### الخلاصة

تضمن هذا البحث دراسة مقاومة الشد للمواد المترابطة المدعمة بالألياف الزجاجية (E-glass). حيث استخدم راتنج الايبوكسي كمادة رابطة لمواد التسليح والمتكونة من حصائر الألياف الزجاجية الصناعية المنتظمة ذات الاتجاهية  $0-90^\circ$  والألياف الزجاجية عشوائية الاتجاه (Random). صنعت ألواح من المواد المترابطة وبعدها طبقات من الألياف الزجاجية ولكلا النوعين من الألياف وجميعها ذات كسر حجمي مقداره ٤٠% من مواد التسليح ، وكل هذه الألواح تم تقطيعها إلى عينات بالقياسات 10X120 ملم أما سمك العينات فيعتمد على عدد طبقات التسليح من الألياف الزجاجية لكي يتم بعد ذلك إجراء اختبار الشد عليها لدراسة تأثير تدعيم الألياف الزجاجية على مقاومة الشد لهذه المواد المترابطة. أظهرت النتائج والفحوصات المختبرية لهذه العينات إن مقاومة الشد بالنسبة للعينات ذات التسليح المنتظم من الألياف الزجاجية  $0-90^\circ$  هي أعلى مما في العينات ذات التسليح العشوائي من الألياف الزجاجية العشوائية (Random).

## STUDYING TENSILE STRENGTH FOR EPOXY COMPOSITES REINFORCED WITH GLASS FIBERS

Mohammed Ghazi Hammed ,\*Hazim Khaleel Khalaf

Departement of physics, College of Science , University of AL-Anbar.Al-anbar- Iraq

\*Deptartement of mechanical engineering, College of engineering, University of Tikreet . Tikreet-Iraq

### Abstract

This research includes the studying of tensile resistance for composite materials reinforced with glass fibers (E-glass). Epoxy resin was used as matrix for the reinforced materials that consist of artificial glass fiber layers (woven roving) with directional  $0-90^\circ$  and with the random direction. The sheets made of composite materials with a number of layers for both types of glass fibers with volume fraction 40% for reinforced materials. All these sheets were cut into samples with measurement 10X120 mm and with sample thickness dependent on the number of layers of glass fibers. Tensile resistance test samples were cut to study tensile resistance for these composite materials. The results and laboratory examinations for these composites show increasing the tensile resistance values for composites reinforced with glass fibers (woven roving) compared to the composites reinforced with glass fibers with the random direction.

## المقدمة

بسبب التأثير الميكانيكي أو التفاعل الكيميائي مع المحيط الخارجي [4]. أما مواد التقوية فهي إما أن تكون على شكل دقائق (particles) أو حشوات (fillings) أو ألياف (fibers) وغالبا تستخدم الألياف في تقوية المواد المترابكة وهي على نوعين إما ألياف طبيعية مثل الصوف والقطن وألياف الكتان أو الألياف الصناعية وتضم مجاميع الأميدات مثل ألياف الكفلر وألياف الزجاج والكاربون والبورون التي يمكن تصنيعها بمختلف الأشكال والأحجام. وتمتاز هذه الألياف بخفة الوزن والكثافة الواطئة ، حيث يغمر الليف في المادة الرابطة لكي يجعل المادة الرابطة أكثر قوة. إن المترابكات المدعمة بالألياف تمتلك ميزتين مهمتين هما القوة وخفة الوزن وغالبا ما تكون أقوى من الفولاذ وذات وزن اقل منه [5]. إن المواد المترابكة يمكن أن يكون لها معاملات مرونة أكثر بكثير مما لموادها الأساسية وكذلك يمكن أن تكون هذه المواد متباينة الخواص ، أي انه إذا سلط إجهاد شد على المادة المترابكة ذات الكسر الحجمي ( $V_f$ ) من الألياف بموازاة الألياف فهذا يعني إن الانفعالات في كل من الألياف والمادة الرابطة تكون متساوية. وبذلك يمكن حساب معامل يونك للمادة المترابكة ( $E_{Composite}$ ) من العلاقة التالية:-

$$E_{Composite} = V_f E_f + (1 - V_f) E_m \dots\dots(1)$$

حيث إن ( $E_f$ ) و ( $E_m$ ) هما معامل يونك للمادة الرابطة والألياف على التوالي. تعرف هذه العلاقة بقانون الخلط (Rule of mixture) وهذا يعني إن قيمة معامل يونك لهذه المادة المترابكة المقواة بالألياف لا يمكن أن تكون أعلى من هذه القيمة.

أما عند تسليط إجهاد على نفس المادة المترابكة بالاتجاه المعاكس (باتجاه عمودي على الألياف) فإن الاجهادات في هذه الحالة تكون متساوية في كل من الألياف والمادة الرابطة ، لذلك يمكن حساب معامل يونك للمادة المترابكة من العلاقة التالية:-

$$E_{Composite} = \frac{E_f E_m}{E_f (1 - V_f) + E_m V_f} \dots\dots(2)$$

وهذا يعني إن قيمة معامل يونك في هذه الحالة للمادة المترابكة المقواة بالألياف لا يمكن أن يكون اقل من هذه القيمة. إن قيمة الكسر الحجمي للألياف ( $V_f$ ) تم حسابها باستخدام العلاقة التالية [6]:-

على الرغم من استعمال المواد المترابكة منذ القدم لكنها في الوقت الحاضر باتت مواد ضرورية جدا في معظم التطبيقات الصناعية الحديثة نظرا للخواص الميكانيكية العالية التي تتميز بها والملائمة للعديد من الصناعات، لذا فقد أحدثت المواد المترابكة قفزة نوعية دخلت حيز الصناعة بشكل يضاهاى المواد الأخرى كالفلزات وسبائكها [1]. تعد المواد المترابكة ذات الأساس البوليمري من المواد الحديثة التي تلعب دورا أساسيا في معظم التطبيقات الهندسية والتكنولوجية ، إذا إن استخدام هذه المواد يتطلب امتلاكها متانة جيدة وأداء تقني عالي لتقاوم الاجهادات الخارجية المؤثرة عليها والظروف المحيطة بها من درجة الحرارة وضغط ورطوبة وغيرها. لهذا السبب ازداد توجه العديد من العلماء والباحثين المختصين لتحضير هذه الأنواع من المواد ودراستها والتعرف على أهميتها وخواصها المتغيرة تبعا لخواص المواد الداخلة في تحضيرها والظروف البيئية المحيطة بها وغيرها من العوامل المؤثرة عليها [2].

تعرف المواد المترابكة بأنها الأنظمة الصلبة الناتجة من اشتراك مادتين أو أكثر بحيث تمثل كل مادة طورا منفصلا في النظام والغرض منها هو الحصول على مواد جديدة ذات خواص مناسبة تجمع بين خواص المواد الأولية الداخلة في تحضير المادة المترابكة وتتجاوز السيئ من الخواص لتكون أكثر ملائمة للتطبيقات الصناعية. تتكون المادة المترابكة من جزئيين أساسيين هما المادة الأساس (matrix) ومواد التقوية (reinforcement materials)، حيث إن المادة الأساس تمثل الطور المستمر في المادة المترابكة التي تضم الأطوار الأخرى حيث تعمل على تماسك عناصر ومواد التقوية وربط الأجزاء معا لتكوين نظام تركيبى متماسك يمكن تحمل القوى الخارجية المؤثرة عليها. يمكن أن تكون المادة الأساس في حالة المترابكات البوليمرية أما مطاوعة للحرارة مثل البولي أنثلين والبولي بروبيلين أو غير مطاوعة للحرارة مثل راتنج البولي استر والايبيوكسي اللذان يستخدمان بشكل واسع في مجالات عديدة لصناعة المواد المترابكة [3]. إن الوظيفة الأساسية للمادة الأساس في المواد المترابكة كونها تمثل الوسط الذي يربط مواد التقوية مع بعضها وبالتالي نقل الإجهاد وتوزيعه على تلك المواد ودورها أيضا في حماية مواد التقوية والسطح البيئي من التلف

يمكن تقسيم المنحني اعتمادا على السلوك إلى ثلاث مناطق: تتمثل المنطقة الأولى بخط مستقيم يمثل السلوك المرن (Elastic behavior) وضمن هذه المنطقة تستعيد المادة أبعادها وشكلها الأصلي بزوال الإجهاد بسبب خزن الشغل المصروف كطاقة مرنة تصرف لإعادة الجسم لأبعاده الأصلية قبل تسليط الإجهاد ، ويمثل معامل المرونة ميل الخط المستقيم أي إن:-

$$E = \frac{\Delta \sigma}{\Delta \varepsilon} \dots\dots\dots (4)$$

يستمر هذا السلوك حتى النقطة A التي تعرف بحد التناسب بعدها تصبح زيادة الانفعال غير خطية مع زيادة الإجهاد ويستمر هذا السلوك حتى نقطة الخضوع B وهي النقطة التي يقل عندها الإجهاد الذي تتحملة المادة. عادة ما تكون ظاهرة الخضوع (Yield phenomenon) غير واضحة في اللدائن والتي بعدها ستعاني المادة اللدائنية (Plastic) من انفعال لدن غير عكسي (Irreversible) لا يزول برفع الإجهاد عن المادة بسبب استهلاك طاقة الإجهاد في فك الارتباط بين السلاسل اللدائنية وقد تكسر بعض الأواصر الرئيسية. ورغم ذلك تحصل زيادة في الإجهاد الذي تتحملة المادة نتيجة ترتب السلاسل اللدائنية باتجاه القوى المؤثرة [11]. إن النقطة B المبينة في الشكل ١. تمثل أقصى مقاومة شد (Ultimate tensile resistance) والتي بعدها يقل الإجهاد تدريجيا نتيجة كسر الأواصر ضمن السلاسل الرئيسية وحتى الفشل عند النقطة D كما في الشكل ١. وليس من الضروري أن تمر اللدائن بكل هذه المراحل، فاللدائن الهشة لا تتجاوز حد التناسب ولا تعاني تشوها لدنا كما إن اللدائن المطاطية لا تعاني من الخضوع [12,13].

### الجانب العملي

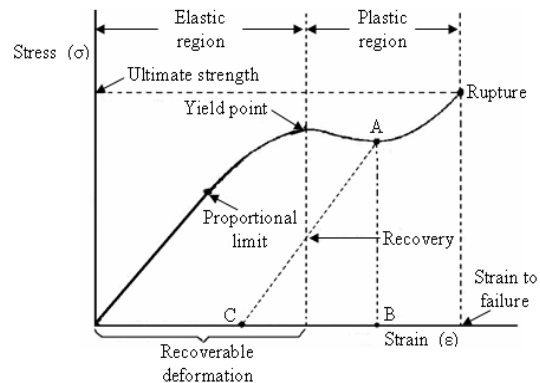
تم اعتماد مادة لدائنية قابلة للمعالجة من الحالة السائلة إلى الحالة الصلبة بإضافة محلول مصلد (Hardener) إليها للحصول على المادة الرابطة (Epoxy) وذلك لتصنيع المواد المتراكبة المستخدمة في اختبار الشد وبكسر حجمي مقداره ٤٠% من مواد التسليح والتي تمثل الألياف الزجاجية (E-glass) والتي كانت بنوعين الأول: الألياف الزجاجية المنتظمة ذات الاتجاهية 0-90° والثاني: الألياف الزجاجية عشوائية الاتجاه (Random). صنعت عدة ألواح من الأيبوكسي قبل وبعد التدعيم بالألياف الزجاجية باستخدام طريقة التشكيل اليدوي

$$V_f \% = \frac{v_f}{v_f + v_m} \times 100 \% \dots\dots\dots (3)$$

حيث إن كلا من  $V_f$  و  $V_m$  هما كل من حجم الليف وحجم المادة الرابطة على التوالي.

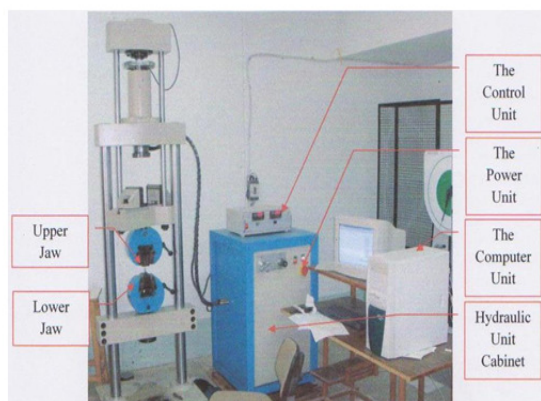
### منحني الإجهاد - الانفعال للمواد البوليمرية

تعتبر دراسة التغير الحاصل في أبعاد البوليمر كدالة للإجهاد من الخصائص الميكانيكية المهمة لجميع البوليمرات ، فعند تسليط جهد ما على انموذج بسرعة ثابتة وقياس التغير الحاصل في أبعاد الانموذج أما بدلالة تغيير الطول أو المساحة أو الحجم عندئذ يمكن معرفة سلوك البوليمر تحت تأثير الإجهاد. ومن طبيعة منحني الإجهاد والانفعال (Stress-Strain Curve) ص البوليمر من حيث متانته ومرونته وأقصى جهد يتحملة الانموذج [7]. يستعمل اختبار الشد بشكل واسع لتزويد المصمم بمعلومات عن مقاومة المادة وأقصى استطالة وغيرها من المعلومات الهندسية الأخرى. يتم اختبار الشد لعينة عن طريق تسليط قوة محورية مستمرة الزيادة مع ملاحظة لحظة ومتعاقبة للاستطالة في العينة ومن ثم إنشاء المنحني الهندسي أو الحقيقي بين الإجهاد (Stress) والانفعال (Strain) [8]. تختلف منحنيات الإجهاد - الانفعال باختلاف نوع البوليمر وهي تفيد في دراسة السلوك الميكانيكي للمادة وفي تحديد المتانة (Toughness) والمقاومة (resistance) ومعامل المرونة (Modulus of elasticity) وأقصى إجهاد تتحملة المادة وغيرها من المعلومات المهمة في التطبيقات الهندسية المختلفة، ويوضح الشكل ١. منحني الإجهاد - الانفعال الهندسي لللدائن [9,10,11].



الشكل ١: منحني الإجهاد - الانفعال للمواد البوليمرية [11]

ثابتة طول فترة الاختبار وهي تساوي ١٠ ملم دقيقة ليتسنى لنا مقارنة نتائج الاختبار للعينات عندما تكون سرعة الاختبار ثابتة.



شكل ٢: جهاز اختبار الشد.

### النتائج والمناقشة

عندما تعرضت النماذج المحضرة لاختبار الشد إلى تأثير حمل شدي ثابت لوحظ إن مادة اليبوكسي قبل التدعيم بالألياف الزجاجية تبدي مقاومة ضعيفة وهي غير قادرة على تحمل اجهاد الشد مقارنة بالمادة بعد تدعيمها بالألياف كما هو موضح بالجدول ٣، وذلك لتحمل الألياف الجزء الأكبر من الإجهاد الخارجي المسلط على المادة المتراكبة. وهذا بسبب خواص المقاومة والمرونة العالية التي تتميز بها الألياف بالنسبة للمادة الأساس التي وظيفتها الأساسية نقل الاجهادات وإيصالها إلى الألياف [16]. وبذلك نجد إن عينات اليبوكسي غير المسلح بالألياف الزجاجية لا تمر بمرحلة التشوه اللدن أثناء الفحص وان منطقة الكسر تكون هشة كما هو موضح (الشكل ٣).

الجدول ٣ : يبين نتائج اختبار الشد للعينات

Samples	Length (L <sub>0</sub> ) (mm)	Thickness (t) (mm)	Width (b) (mm)	Max stress (MPa)	Max load (N)	Elongation (mm)
EP	40	1.5	10	-----	-----	-----
EG1W	40	1.0	10	150	1861	0.8
EG2W	40	1.25	10	254.1	3176	2.0
EG3W	40	2.0	10	327.8	6556	1.0
EG1R	40	1.0	10	80.0	800	0.5
EG2R	40	2.0	10	123	2460	0.8
EG3R	40	3.5	10	109	3815	2.0
EG1W1R	40	1.8	10	169	3042	1.8
EG1W2R	40	3.0	10	159.5	2480	0.6
EG2W1R	40	2.2	10	198.2	4360.1	0.9

(Hand lay-up method) وبعده طبقات من كلا النوعين من الألياف الزجاجية ، وقطعت جميع هذه الألواح إلى عينات بالقياسات 10X120 ملم ليتم بعد ذلك إجراء فحص الشد عليها. يبين الجدول ١. القيم النظرية المتوقعة لبعض الخواص الميكانيكية للمواد المستخدمة في الدراسة [14,15].

الجدول ١ : القيم النظرية المتوقعة للمواد المستخدمة.

Material	Density (g/cm <sup>3</sup> )	Yield strength (MPa)	Tensile strength (MPa)	Percent elongation	Modulus elasticity (GPa)
Epoxy	1.1-1.4	-----	27.6-90	3-6	2.41
E-glass	2.6	-----	3450	4.3	72.5
E-glass fibers-epoxy matrix (V <sub>f</sub> =0.6)					
(Longitudinal direction)	-----	-----	1020	2.3	45
(Transverse direction)	-----	-----	40	0.4	12

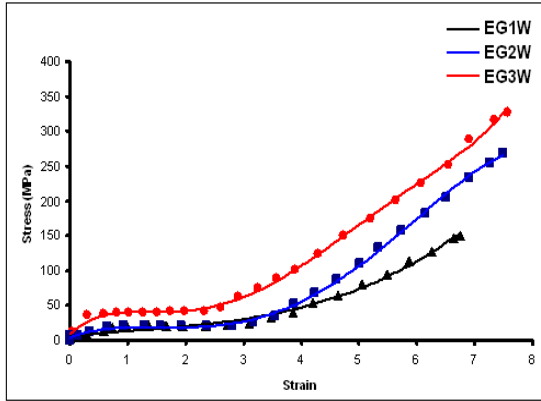
ويبين الجدول ٢ . العينات المستخدمة في اختبار الشد.

الجدول ٢ : العينات المستخدمة في اختبار الشد.

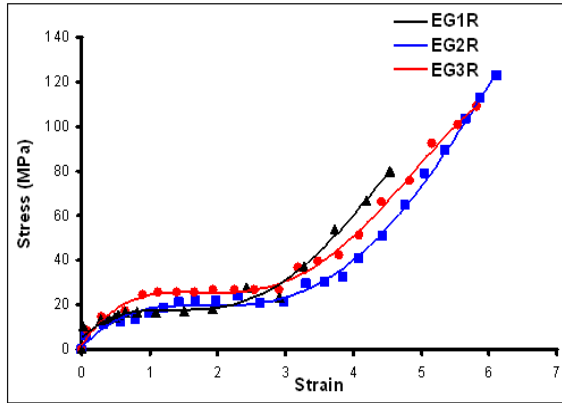
Numbers	Symbols	Samples
1	EP	عينات اليبوكسي غير المسلحة
2	EG1W	عينات اليبوكسي المسلحة بطبقة واحدة من الألياف الزجاجية (0-90°)
3	EG2W	عينات اليبوكسي المسلحة بطبقتين من الألياف الزجاجية (0-90°)
4	EG3W	عينات اليبوكسي المسلحة بثلاث طبقات من الألياف الزجاجية (0-90°)
5	EG1R	عينات اليبوكسي المسلحة بطبقة واحدة عشوائية من الألياف الزجاجية
6	EG2R	عينات اليبوكسي المسلحة بطبقتين عشوائيتين من الألياف الزجاجية
7	EG3R	عينات اليبوكسي المسلحة بثلاث طبقات عشوائية من الألياف الزجاجية
8	EG1W1R	عينات اليبوكسي المسلحة بطبقة واحدة (0-90°) وأخرى عشوائية من ألياف الزجاج
9	EG1W2R	عينات اليبوكسي المسلحة بطبقتين عشوائيتين بينهما طبقة (0-90°) من ألياف الزجاج
10	EG2W1R	عينات اليبوكسي المسلحة بطبقتين (0-90°) بينهما طبقة عشوائية من ألياف الزجاج

### جهاز اختبار الشد

استخدم جهاز الاختبار الموضح في الشكل ٢ لإجراء اختبار الشد للعينات اليبوكسي قبل وبعد التدعيم بالألياف الزجاجية، وذلك لحساب مقاومة الشد لهذه العينات. حيث يصل أقصى حمل لهذا الجهاز بحدود 200 KN، وهذا الجهاز مزود بحاسوب للحصول على نتائج الاختبارات والرسومات البيانية لها ومراقبة العينات طول فترة الاختبار. يوجد هذا الجهاز في قسم الهندسة الميكانيكية - كلية الهندسة - جامعة تكريت. فسي هذا البحث عملنا على أن تكون سرعة اختبار الشد لجميع العينات



الشكل ٤: منحنى الإجهاد- الانفعال لعينات الايبوكسي المدعمة بألياف الزجاج المنتظمة 0-90°.



الشكل ٥: منحنى الإجهاد- الانفعال لعينات الايبوكسي المدعمة بألياف الزجاج العشوائية.

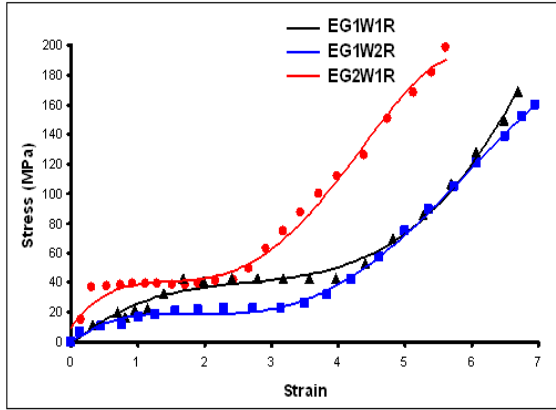
للتعرف على طبيعة سطح الكسر الحاصل للعينات بعد انتهاء اختبار الشد استخدم مجهر من نوع أولمبس ياباني الصنع مزود بكاميرا والذي من خلاله تم تصوير سطح العينات قبل وبعد الاختبار. لقد لوحظت حالتان لنمط الفشل الحاصل في العينات تمثلت الأولى بالفشل الهش السريع الذي حصل بصورة مميزة لعينات الايبوكسي غير المسلح كما هو مبين الشكل ٣. أما الحالة الثانية فتمثلت بالتشوه اللدن المطيلي الذي ظهر بشكل واضح في العينات المدعمة بألياف الزجاج المحاكة ذات الاتجاهية 0-90°، وعند ملاحظة منطقة الكسر لهذه العينات نجد إن هناك انسلال واضح للألياف الزجاجية في منطقة الكسر بشكل حزم مما يؤدي ذلك إلى جعل سطح الكسر خشنا جدا لان انسلال الألياف بهذا الشكل يسمح للمادة الأساس أن تنتشوه



الشكل ٣: منطقة الكسر في عينة الايبوكسي غير المسلح

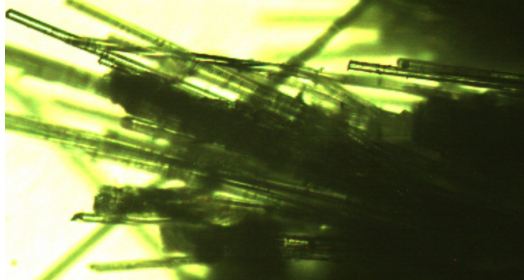
لقد أظهرت النتائج المبينة في الجدول ٣. والخاصة باختبار الشد إن مقاومة الشد للعينات تزداد بازدياد عدد طبقات التسليح للألياف الزجاجية ولكلا النوعين من الألياف الزجاجية وبكسر حتمي مقداره ٤٠%، كذلك فإن مقاومة الشد بالنسبة لعينات الايبوكسي المدعم بالألياف الزجاجية ذات الاتجاهية 0-90° هي أعلى من مثيلاتها المدعمة بالألياف الزجاجية عشوائية الاتجاه (Random). حيث لوحظ إن اتجاه تأثير الإجهاد بالنسبة إلى اتجاه ترتيب الألياف ضمن المادة المترابطة عامل مهم ومؤثر في الخواص الميكانيكية، لذا فهي تعد من المواد ذات الخواص الاتجاهية. فقد وجد إن سلوك الإجهاد - الانفعال لراتنج الايبوكسي المدعم بألياف الزجاج نوع (E-glass) القصيرة العشوائية الترتيب يختلف عن سلوك الراتنج المدعم بنفس النوع من الألياف والمحاكة بشكل حصيرة 0-90° ويتضح هذا الاختلاف في السلوك من خلال الفروقات المميزة بينهما في قيم مقاومة الشد القصوى للحالتين. أي انه يمكن القول في حالة التدعيم بألياف الزجاج العشوائية تكون تلك الألياف الموازية أو تقريبا موازية لاتجاه التحميل هي القادرة على أن تعطي التقوية الكافية للمادة المترابطة في حين إن الألياف المتجهة باتجاهات مغايره أو عمودية على اتجاه التحميل لا تساهم في عملية التقوية. تبين الأشكال ٤ و ٥ منحنيات الإجهاد - الانفعال لعينات الايبوكسي المدعمة بألياف الزجاج المنتظمة والعشوائية على التوالي.

(EG1W1R) وهذه بدورها اعلي من العينات المدعمة بطبقتي ليف زجاجي عشوائي تفصل بينهما طبقة واحدة من الألياف الزجاجية المنتظمة (EG1W2R) كما هو موضح بالجدول ٣ والشكل ٨. الذي يمثل المخطط البياني بين الإجهاد - الانفعال لهذه العينات.



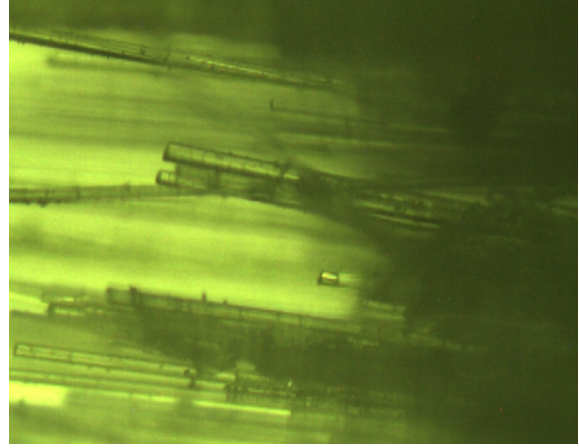
الشكل ٨: منحنى الإجهاد- الانفعال لعينات الايبوكسي المدعمة بألياف الزجاج المنتظمة 0-90° والعشوائية.

وعند ملاحظة الصور المجهرية لهذه العينات نجد إن هناك انسلال لألياف الزجاج المنتظمة ذات الاتجاهية 0-90° بشكل حزم في منطقة الكسر اكبر مما هو عليه بالنسبة للألياف العشوائية كما مبين بالصورة المجهرية في الشكل ٩. ، وبالتالي يمكن القول إن معظم الإجهاد المسلط على هذه العينات سوف تتحمله الألياف الزجاجية المنتظمة 0-90° المترتبة بموازاة الإجهاد المسلط. أما الألياف العشوائية فان القليل منها والذي يكون بموازاة الإجهاد هو القادر على إعطاء تقوية للمادة المترتبة وبالتالي نلاحظ انسلال تلك الألياف بصورة منفردة في منطقة الكسر وكما هو موضح بالصورة المجهرية في الشكل ١٠. يبين الشكل ١١. صورة فوتوغرافية للعينات بعد انتهاء مرحلة اختبار الشد وفشل هذه العينات وانفصالها إلى جزئين.



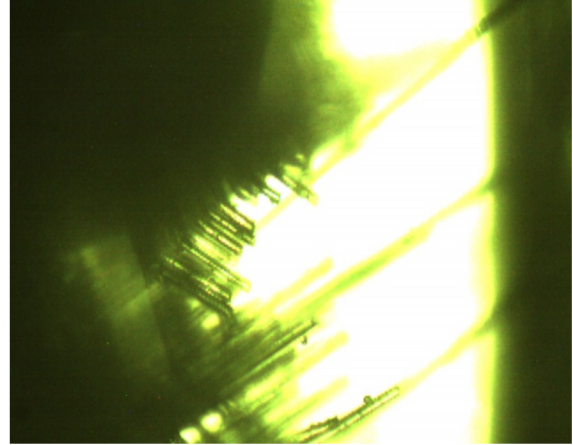
الشكل ٩: انسلال ألياف الزجاج 0-90° بشكل حزم في منطقة الكسر للعينات (EG1W1R).

وتمتص مقدار اكبر من الطاقة قبل أن تفشل بصورة نهائية ، ويبدو ذلك واضحا الشكل ٦.



الشكل ٦: انسلال الألياف الزجاجية في منطقة الكسر لعينة الايبوكسي (EG2W).

أما بالنسبة للألياف الزجاجية العشوائية فنجد إن هناك انسلال للألياف بصورة منفردة اقل مما هو موجود بالنسبة للألياف الزجاجية المحاكة ذات الاتجاهية 0-90° الأمر الذي أدى إلى الحصول على منطقة كسر ناعمة للمادة المترتبة كما هو موضح الشكل ٧.

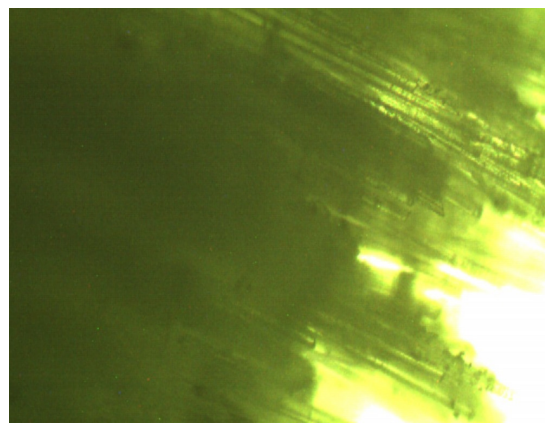


الشكل ٧: انسلال الألياف الزجاجية في منطقة الكسر لعينة الايبوكسي (EG2R).

أما بالنسبة لعينات الايبوكسي المدعمة بكلتا النوعين من الألياف الزجاجية وبكسر حجمي مقداره ٤٠% فنجد إن مقاومة الشد بالنسبة للعينات المدعمة بطبقتي ألياف زجاج محاكة بالاتجاهية 0-90° تفصل بينهما طبقة واحد عشوائية من ألياف الزجاج (EG2W1R) هي أعلى من العينات المدعمة بطبقة واحدة من الألياف الزجاجية المنتظمة 0-90° وأخرى عشوائية الاتجاه



٤. تكون منطقة الكسر لعينات الايبوكسي غير المدعمة بالألياف هشة وذلك لعدم وجود ما يمنع تقدم الشقوق أثناء إجراء الاختبار.
٥. هناك انسلال واضح للألياف الزجاجية المنتظمة ذات الاتجاهية  $0-90^\circ$  بشكل حزم في منطقة الكسر للعينات المدعمة بهذا النوع من الألياف.
٦. إن المادة المترابطة المحضرة تكون متباينة الخواص أي إنها تكون ذات متانة شد عالية عندما يكون الإجهاد المسلط بموازاة الألياف ، وفي نفس الوقت تكون ضعيفة عندما يكون الإجهاد المسلط عموديا على اتجاه ألياف التسليح ويبدو ذلك واضحا بالنسبة للعينات المدعمة بالألياف المقطعة عشوائية الاتجاه.



الشكل ١٠: منطقة الكسر لعينة الايبوكسي (EG1W1R) من جهة التسليح بألياف الزجاج عشوائية الاتجاه.

#### المصادر

١. فائق نعمان عبد الله ٢٠٠٧. "دراسة تأثير الحجم الحبيبي للدقائق ودرجة حرارة التشكيل على الخواص الميكانيكية للمواد المركبة ذات الأساس من البوليمر" مجلة الهندسة والتكنولوجيا، المجلد ٢٥، العدد ٥،
2. J. Morton and E. W. Godwin, 1989 "Composite Structures", Vol. 13, No. 1, PP. 1-5.
٣. إناس محي هادي ١٩٩٩ "دراسة الخواص الميكانيكية والحرارية للبولي استر غير المشبع والمدعم بدقائق سيراميكية" رسالة ماجستير - الجامعة التكنولوجية .
4. M. A. Meyers and K. K. Chawal, 1999, "Mechanical Behavior of Materials", Prentice - Hall, Inc,
٥. م. ف. اشبي و د. ر. هـ. جونس، ١٩٩٠ "المواد الهندسية- مدخل لخواصها وتطبيقاتها"، ترجمة د. جعفر طاهر الحيدري - قسم هندسة الانتاج والمعادن - الجامعة التكنولوجية - بغداد .
٦. أوهم محمد حميد السعدي ٢٠٠٠ "دراسة تأثير التدعيم بالألياف على الخصائص الفيزيائية لمواد مترابطة" رسالة ماجستير - الجامعة التكنولوجية .
٧. حارث إبراهيم جعفر ١٩٩٢ "تأثير الرطوبة وسمك العينات على متانة الطبقات البينية لمتراكب



الشكل ١١: العينات بعد انتهاء مرحلة اختبار الشد وفشل هذه العينات وانفصالها إلى جزأين.

#### الاستنتاجات

١. تمتلك عينات الايبوكسي المدعمة بالألياف الزجاجية ذات الاتجاهية  $0-90^\circ$  مقاومة شد أعلى من تلك العينات المدعمة بالألياف الزجاجية العشوائية وبكسر حجمي مقداره ٤٠%.
٢. تزداد مقاومة الشد للعينات بازدياد عدد طبقات التسليح ولكلا النوعين من الألياف الزجاجية المنتظمة  $0-90^\circ$  والعشوائية الاتجاه.
٣. إن التدعيم بالألياف الزجاجية يكون ذا أهمية كبيرة في زيادة مقاومة الشد للعينات المسلحة بها.

- البولي استر المسلح بالألياف الزجاجية " رسالة ماجستير - جامعة بغداد - كلية العلوم .
8. J. John, M. Barson, T. Stanely Ralfe, **1987** "Fracture and Fatigue Control Structures" , Published by Prentice Hall, Inc. New Jersey .
9. B. Michael, **1989**"Encyclopida of Material Science and Engineering" , Vol. 5.
١٠. د. كوركيس عبد آل آدم ، د. ذنون عبد العزيز ، ١٩٨٠ ، " كيمياء الجزيئات الكبيرة " ، جامعة البصرة - .
11. A. Brent Strong, **2000**"Plastic materials and processing" second edition, Brigham young university, New Jersey,.
12. W. D. Callister Jr, **2000** "Materials Science and Engineering: An introduction", Fifth edition, Wiley.
١٣. د. كوركيس عبد آل آدم ، د. حسين علي كاشف الغطاء ، ١٩٨٥ "تكنولوجيا وكيمياء البوليمرات " ، جامعة البصرة .
١٤. رائد خضر سلمان ، ٢٠٠٢ " الخصائص الميكانيكية المثلى لمواد متراكبة بوليمرية باستخدام التمثيل الحاسوبي " ، رسالة ماجستير - جامعة الأنبار - كلية العلوم .
15. William D. Callister, Jr. **2000** "Materials Science and engineering an introduction", Department of metallurgical engineering the university of Utah.
١٦. ف. ببلي ، ١٩٨٥ " مبادئ هندسة المعادن والمواد " ، ترجمة د. حسين باقر - قسم هندسة الإنتاج والمعادن - الجامعة التكنولوجية .